

УДК 627.34

А.Микитишин; П.Стухляк, докт.техн.наук; М.Митник, канд.техн.наук
Тернопільський державний технічний університет імені Івана Пулюя

МОДЕЛЮВАННЯ ТВЕРДНЕННЯ РЕАКТОПЛАСТІВ ТРИ- І ЧОТИРИЕЛЕМЕНТНИМИ МАТЕМАТИЧНИМИ МОДЕЛЯМИ В'ЯЗКОПРУЖНИХ ТІЛ

Розглянуто весь спектр три- і чотириелементних моделей в'язкопружних тіл. Це дозволяє використати одну з моделей, порівнявши її з результатами експериментально отриманих даних, за допомогою виробленого авторами приладу, для моделювання динаміки процесів тверднення композитних матеріалів з початкового моменту гідродинамічного поєднання компонентів до гелеутворення і переходу композиту до в'язкопружного стану.

Умовні позначення

- δ - переміщення пружини або поршня;
- P - прикладена сила;
- k - коефіцієнти пропорційності;
- ε - відносна деформація;
- σ - напруження;
- E - модуль пружності;
- η - коефіцієнт в'язкості;
- χ - тривалий модуль пружності;
- α, β, γ - коефіцієнти.

При дослідженнях фізико-механічних характеристик матеріалів, у тому числі й полімерних композитів, важливим для прогнозування властивостей є процес тверднення при формуванні виробів. Тому особливо важливим є вивчення першого етапу формування полімерної просторової сітки для полімерних композитів. Оскільки їх можна описати в'язкопружними математичними моделями, то на перших етапах дослідження полімерних матеріалів треба розглянути побудову і опис в'язкопружних тіл за допомогою три- і чотириелементних математичних моделей. Конструктивно

пружний елемент можна подати як пружину. Її видовження δ_{np} пропорційне прикладеній силі P [1-3]:

$$\delta_{np} = k_1 P \quad (1)$$

В'язкий елемент можна подати у вигляді циліндра, заповненого рідиною, всередині якого переміщується поршень так, що рідина витікає через щілину між циліндром і поршнем. Швидкість переміщення δ_B поршня відносно циліндра пропорційна прикладеній силі P [1-3]:

$$\frac{d\delta_B}{dt} = k_2 P \quad (2)$$

Найпростіші є двоелементні моделі, що є послідовним з'єднанням пружного і в'язкого елементів (модель Максвелла), та їх паралельне з'єднання (модель Фойгта). Рівняння, що описують в'язко-пружні моделі Максвелла і Фойгта, виглядають так:

$$\frac{d\varepsilon}{dt} = \frac{1}{E} \frac{d\sigma}{dt} + \frac{\sigma}{\eta} \quad (3)$$

$$\sigma = E\varepsilon + \eta \frac{d\varepsilon}{dt} \quad (4)$$

Як відомо, моделі Максвелла і Фойгта лише якісно відображають деякі сторони складних процесів деформування матеріалів у часі. Так елемент Максвелла описує тільки процес релаксації напружень, а модель Фойгта – лише процес повзучості.

Для опису початкових етапів тверднення полімерних епоксикомпозитів, коли відбувається процес гелеутворення, цього явно замало. Тому логічно розглянути більш складні три- і чотириелементні моделі.

Триелементна модель, подана на рис. 1, складається з паралельно з'єднаних тіла Максвелла (1, 2) і пружного елемента 3. Сила P , що діє на з'єднання елементів, дорівнює сумі сил P_{12} і P_3 , які діють на елемент Максвелла і в'язкий елемент відповідно:

$$P = P_{12} + P_3 \quad (5)$$

Зміна відстані між двома точками прикладання сил P дорівнюватиме з одного боку, сумі видовження пружини 1 - δ_1 і переміщення поршня відносно циліндра 2 - δ_2 , а з іншого, видовження пружини 3 - δ_3 :

$$\delta = \delta_1 + \delta_2 = \delta_3$$

Продиференціювавши це співвідношення у часі, отримаємо:

$$\frac{d\delta}{dt} = \frac{d\delta_1}{dt} + \frac{d\delta_2}{dt} = \frac{d\delta_3}{dt} \quad (6)$$

Залежності між переміщеннями δ_1 , δ_2 і δ_3 і силами, що діють на модель - P , на пружину 1 - P_1 , на поршень 2 - P_2 і на пружину 3 - P_3 :

$$\frac{d\delta_2}{dt} = k_2 P_2; \quad \delta_1 = k_1 P_1; \quad \delta_3 = k_3 P_3 \quad (7)$$

причому:

$$P_1 = P_2 = P_{12} \quad (8)$$

Підставивши співвідношення (7) у вираз (6), використовуючи при цьому рівності (5) і (8), отримаємо:

$$\frac{d\delta}{dt} = k_1 \frac{dP_1}{dt} + k_2 P_2 = k_1 \left(\frac{dP}{dt} - \frac{dP_3}{dt} \right) + k_2 (P - P_3),$$

$$\frac{d\delta}{dt} = k_1 \frac{dP}{dt} - \frac{k_1}{k_3} \frac{d\delta}{dt} + k_2 P - \frac{k_2}{k_3} \delta.$$

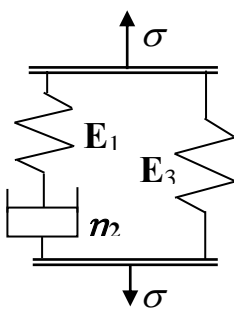


Рис.1. Триелементна модель

звідси

$$\left[1 + \frac{k_1}{k_3}\right] \frac{d\delta}{dt} + \frac{k_1}{k_3} \delta = k_2 P + k_1 \frac{dP}{dt}$$

Переходячи від переміщення δ і сили P до диференціації ε і напруження σ і замінюючи коефіцієнти k_1, k_2 і k_3 відповідно на $\frac{1}{E_1}, \frac{1}{\eta_2}$ і $\frac{1}{E_3}$, отримаємо

$$\left[1 + \frac{E_3}{E_1}\right] \frac{d\varepsilon}{dt} + \frac{E_3}{\eta_2} \varepsilon = \frac{\sigma}{\eta_2} + \frac{1}{E_1} \frac{d\sigma}{dt}. \quad (9)$$

Рівняння (9) легко набирає вигляду:

$$\frac{d\sigma}{dt} + \alpha \sigma = E \left(\frac{d\varepsilon}{dt} + \beta \varepsilon \right) \quad (10)$$

де

$$\alpha = \frac{E_1}{\eta_2}; E = E_1 + E_2; \beta = \frac{E_1 E_3}{\eta_2 (E_1 + E_3)} \quad (11)$$

Тривалий модуль пружності $\chi = E_3$.

Розв'язавши рівняння (10) відносно ε у випадку $\sigma = \text{const}$ (процес повзучості), отримаємо рівняння кривої повзучості у вигляді:

$$\varepsilon = \frac{\sigma}{E} \left\{ 1 + \frac{\alpha - \beta}{\alpha} [1 - \exp(-\beta t)] \right\} \quad (12)$$

Для $\varepsilon = \text{const}$ (процес релаксації напружень), розв'язок рівняння (5) відносно σ набере вигляду рівняння кривої релаксації:

$$\sigma = E \varepsilon \left\{ 1 + \frac{\alpha - \beta}{\alpha} [1 - \exp(-\alpha t)] \right\} \quad (13)$$

Величина α є часом релаксації напружень.

Отже, дана модель, на відміну від моделей Максвелла і Фойгта, відображає обидві сторони явища повзучості – повзучість і релаксацію напружень.

Математичний опис інших триелементних моделей, отриманих аналогічно, поданий у табл. 1 (3-6).

А тепер розглянемо одну чотириелементну модель. Модель (рис. 2) є послідовним з'єднанням моделей Максвелла і Фойгта.

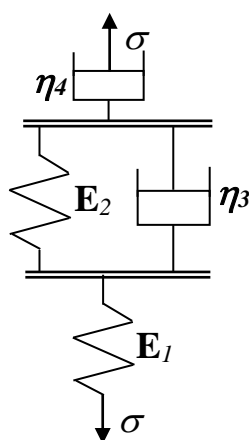


Рис.2. Чотириелементна модель

Зміна відстані між двома точками прикладання сил P дорівнюватиме сумі видовження пружини 1 - δ_1 , пружини 2 - δ_2 і переміщення поршня відносно циліндра 4 - δ_4 :

$$\delta = \delta_1 + \delta_2 + \delta_4, \quad (14)$$

причому

$$\delta_2 = \delta_3 \quad (15)$$

Продиференціювавши співвідношення (15) у часі, отримаємо:

$$\frac{d\delta}{dt} = \frac{d\delta_1}{dt} + \frac{d\delta_2}{dt} + \frac{d\delta_4}{dt} \quad (16)$$

Залежності між переміщеннями $\delta_1, \delta_2, \delta_3, \delta_4$ і силами, що діють на модель - P , на пружину 1 - P_1 , на пружину 2 - P_2 на поршень 3 - P_3 і поршень 4 - P_4 :

$$\delta_1 = k_1 P_1; \frac{d\delta_4}{dt} = k_4 P_4; \delta_2 = k_2 P_2; \frac{d\delta_3}{dt} = k_3 P_3, \quad (17)$$

причому:

$$P = P_1 = P_4 = P_2 + P_3 \quad (18)$$

Підставимо співвідношення (17) у вираз (16), використовуючи при цьому рівності (15) і (18).

Тоді отримаємо:

$$\begin{aligned} \frac{d\delta}{dt} &= k_1 \frac{dP_1}{dt} + k_3 P_3 + k_4 P = k_2 \frac{dP}{dt} + k_3 (P - P_2) + k_4 P \\ \frac{d\delta}{dt} &= k_1 \frac{dP}{dt} + k_3 P - \frac{k_3}{k_2} (\delta - \delta_1 - \delta_4) + k_4 P. \end{aligned}$$

звідки

$$\frac{d\delta}{dt} = k_1 \frac{dP}{dt} + (k_3 + k_4)P - \frac{k_3}{k_2} \delta + \frac{k_3 k_1}{k_2} P + \frac{k_3 k_1}{k_2} \int P(t) dt \quad (19)$$

Продиференціювавши вираз (19) у часі, отримаємо:

$$\frac{d^2 \delta}{dt^2} + \frac{k_3}{k_2} \frac{d\delta}{dt} = \left[k_3 + k_4 + \frac{k_3 k_1}{k_2} \right] \frac{dP}{dt} + k_1 \frac{d^2 P}{dt^2} + \frac{k_3 k_1}{k_2} P.$$

Переходячи від переміщення δ і сили P до деформації ε і напруження σ і замінюючи коефіцієнти k_1, k_2, k_3 і k_4 відповідно на $\frac{1}{E_1}, \frac{1}{E_2}, \frac{1}{\eta_3}$ і $\frac{1}{\eta_4}$, отримуємо рівняння, що описує дане тіло:

$$\frac{1}{E} \frac{d^2 \sigma}{dt^2} + \gamma \frac{d\sigma}{dt} + \alpha \sigma = \frac{d^2 \varepsilon}{dt^2} + \beta \frac{d\varepsilon}{dt}, \quad (20)$$

$$\text{де } \alpha = \frac{E_2}{\eta_4 \eta_3}; E = E_1; \beta = \frac{E_2}{\eta_3}; \gamma = \frac{1}{\eta_3} + \frac{1}{\eta_4} + \frac{E_2}{E_1 \eta_3} \quad (21)$$

Миттєвий модуль пружності $E = E_1$.

Тривалий модуль пружності

$$\chi = \frac{\beta}{\gamma} = \frac{E_2}{\frac{\eta_3 + \eta_4}{\eta_4} + \frac{E_2}{E_1}}. \quad (22)$$

Для $\sigma = \text{const}$ (процес повзучості) рівняння (19) набере вигляду:

$$\alpha \sigma = \frac{d^2 \varepsilon}{dt^2} + \beta \frac{d\varepsilon}{dt} \quad (23)$$

Розв'язком цього рівняння буде вираз:

$$\varepsilon = \varepsilon(0) - \frac{\alpha \sigma}{\beta^2} + \frac{\alpha \sigma}{\beta} t + \frac{\alpha \sigma}{\beta^2} \exp(-\beta t) \quad (24)$$

Враховуючи, що

$$\sigma(0) = \frac{\sigma}{E} \text{ і } \frac{\alpha}{\beta} = \frac{1}{\eta_4},$$

отримаємо:

$$\varepsilon = \sigma \left\{ \frac{1}{E_1} + \frac{1}{\eta_4} \left(t - \frac{E}{\eta_3} \left[1 - \exp\left(-\frac{E_2}{\eta_4} t\right) \right] \right) \right\} \quad (25)$$

При умові $\varepsilon = \text{const}$ рівняння (20) набере вигляду:

$$\frac{1}{E} \frac{d^2 \sigma}{dt^2} + \gamma \frac{d\sigma}{dt} + \alpha \sigma = 0 \quad (26)$$

Для виведення рівняння кривої релаксації напружень скористаємося перетворенням Лапласа:

$$\frac{1}{E} p^2 \sigma(p) + \gamma \sigma(p) + \alpha \sigma(p) = \frac{\sigma(0)}{E} p + \gamma \sigma(0),$$

звідки

$$\sigma(p) = \frac{\frac{\sigma(0)}{E} p + \gamma \sigma(0)}{\frac{1}{E} p^2 + \gamma + \alpha} \quad (27)$$

Розкладаємо вираз $\frac{1}{E} p^2 + \gamma + \alpha$ на множники.

Для цього розв'яжемо рівняння

$$\begin{aligned} \frac{1}{E} p^2 + \gamma + \alpha &= 0 \\ p_1 = -\tau_1 &= -\frac{\gamma E}{2} - \sqrt{\frac{\gamma^2}{4} - \frac{\alpha}{E}} \\ p_2 = -\tau_2 &= -\frac{\gamma E}{2} + \sqrt{\frac{\gamma^2}{4} - \frac{\alpha}{E}}, \end{aligned}$$

звідки

$$\frac{1}{E} p^2 + \gamma + \alpha = \frac{1}{E} (p + \tau_1)(p + \tau_2).$$

Тоді рівняння (27) можна подати у вигляді:

$$\sigma(p) = E \left[\frac{A}{p + \tau_1} + \frac{B}{p + \tau_2} \right] \quad (28)$$

Знайдемо коефіцієнти A і B виразу (28) так:

$$A(p + \tau_2) + B(p + \tau_1) = \frac{\sigma(0)}{E} p + \gamma \sigma(0)$$

$$\begin{cases} p^1 \Big| A + B = \frac{\sigma(0)}{E} \\ p^0 \Big| A \tau_2 + B \tau_1 = \gamma \sigma(0) \end{cases},$$

звідки

$$A = \frac{\sigma(0)}{E} - B; \quad \left[\frac{\sigma(0)}{E} - B \right] \tau_2 + B \tau_1 = \gamma \sigma(0);$$

$$B(\tau_1 + \tau_2) = \gamma \sigma(0) - \frac{\sigma(0)}{E} \tau_2;$$

$$B = \frac{\sigma(0) \left[\gamma - \frac{\tau_2}{E} \right]}{\tau_1 - \tau_2}; \quad A = \sigma(0) \left[\frac{1}{E} - \frac{\gamma - \frac{\tau_2}{E}}{\tau_1 - \tau_2} \right]. \quad (29)$$

Підставивши коефіцієнти (29) у вираз (28), отримаємо:

$$\sigma(p) = \sigma(0) \left\{ \frac{1 - \frac{\gamma E - \tau_2}{\tau_1 - \tau_2}}{p + \tau_1} + \frac{\frac{\gamma E - \tau_2}{\tau_1 - \tau_2}}{p + \tau_2} \right\} \quad (30)$$

МЕХАНІКА ТА МАТЕРІАЛОЗНАВСТВО

Виконаємо зворотнє перетворення Лапласа, враховуючи, що

$$\sigma(0) = \varepsilon E$$

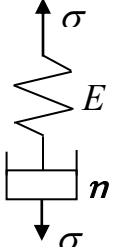
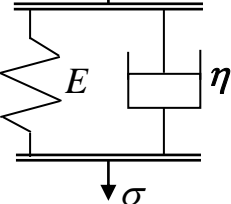
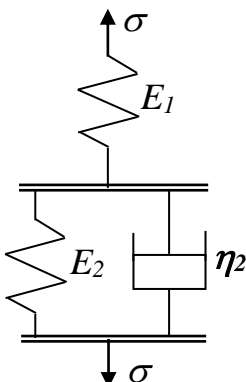
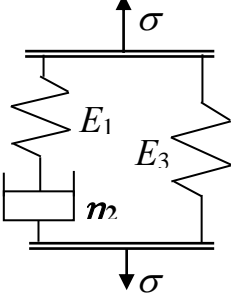
Тоді співвідношення (30) набере вигляду рівняння кривої релаксації напружень

$$\sigma = \varepsilon E \left\{ \left[1 - \frac{\gamma E - \tau_2}{\tau_2 + \tau_1} \right] \exp(-\tau_1 t) + \frac{\gamma E - \tau_2}{\tau_2 + \tau_1} \exp(-\tau_2 t) \right\}, \quad (31)$$

де τ_1 і τ_2 - дійсні числа, оскільки комплексними вони не можуть бути через втрату в такому випадку фізичного змісту кожного з елементів моделі.

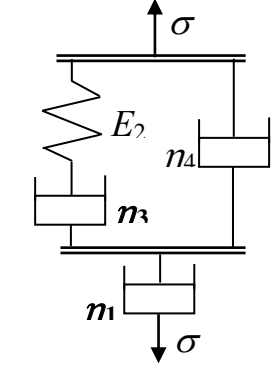
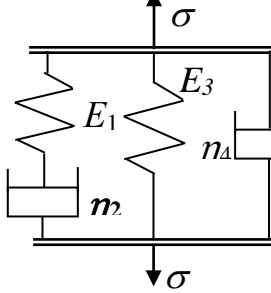
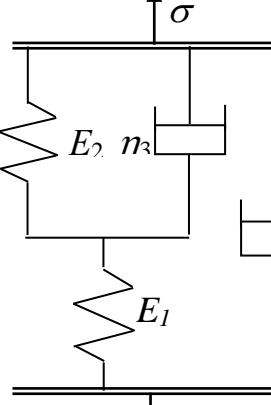
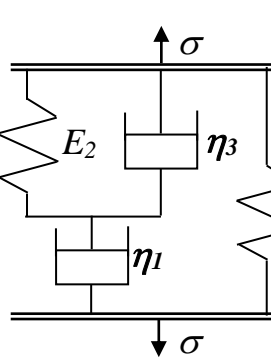
Інші моделі в'язкопружних тіл подані в таблиці 1.

Таблиця 1

Модель	A	Рівняння повзучості
	B	Рівняння релаксації напружень
	C	Коефіцієнти
1	2	3
<p>1</p> 	B	$\sigma = \varepsilon E \left(-\frac{E}{\eta} t \right)$
<p>2</p> 	A	$\varepsilon = \frac{\sigma}{E} \left[1 - \exp\left(-\frac{E}{\eta} t \right) \right]$
<p>3</p> 	A	$\varepsilon = \frac{\sigma}{E} \left\{ 1 + \frac{\alpha - \beta}{\alpha} [1 - \exp(-\beta t)] \right\}$
	B	$\sigma = E \varepsilon \left\{ 1 - \frac{\alpha - \beta}{\alpha} [1 - \exp(-\alpha t)] \right\}$
	C	$\alpha = \frac{E_1 + E_2}{\eta_2} \quad \beta = \frac{E_2}{\eta_2} \quad E = E_1$
<p>4</p> 	A	$\varepsilon = \frac{\sigma}{E} \left\{ 1 + \frac{\alpha - \beta}{\alpha} [1 - \exp(-\beta t)] \right\}$
	B	$\sigma = E \varepsilon \left\{ 1 - \frac{\alpha - \beta}{\alpha} [1 - \exp(-\alpha t)] \right\}$
	C	$\alpha = \frac{E_1}{\eta_2}; E = E_1 + E_2; \beta = \frac{E_1 E_3}{\eta_2 (E_1 + E_3)}$

Продовження таблиці 1

5		A	$\varepsilon = \frac{\sigma}{E_2} \left\{ \frac{\eta_3}{\eta} + \frac{E_2}{\eta_1} t - \frac{\eta_3}{\eta_1} \left[1 - \exp\left(-\frac{E_2}{\eta_3} t\right) \right] \right\}$
		B	$\sigma = \varepsilon \frac{E_2 \eta_1}{\eta_1 + \eta_3} \exp\left[-\frac{E}{\eta_1 + \eta_2} t\right]$
6		A	$\varepsilon = \frac{\sigma}{\beta} \left\{ \frac{1}{\eta} + \alpha t - \frac{\alpha}{\beta} [1 - \exp(-\beta t)] \right\}$
		B	$\sigma = \varepsilon \beta \eta \exp(-\alpha \eta t)$
		C	$\alpha = \frac{E_2}{\eta_1 \eta_3}; \beta = \frac{E_2}{\eta_3} + \frac{E_2}{\eta_1} = \frac{E_2}{\eta}; \eta = \frac{\eta_1 \eta_3}{\eta_3 + \eta_1}$
7		A	$\varepsilon = \sigma \left\{ \frac{1}{E} + \frac{\alpha}{\beta} \left(t - \frac{1}{\beta} [1 - \exp(-\beta t)] \right) \right\}$
		B	$\sigma = \varepsilon E \left\{ \left[1 - \frac{\gamma E - \tau_2}{\tau_2 + \tau_1} \right] \exp(-\tau_1 t) + \frac{\gamma E - \tau_2}{\tau_2 + \tau_1} \exp(-\tau_2 t) \right\}$
		C	$E = E_1; \alpha = \frac{E_2}{\eta_4 \eta_3}; \beta = \frac{E_2}{\eta_3}; \gamma = \frac{1}{\eta_3} + \frac{1}{\eta_4} + \frac{E_2}{E_1 \eta_3}$ $\tau_{1,2} = \pm \frac{\gamma E}{2} - \sqrt{\frac{\gamma^2}{4} - \frac{\alpha}{E}}$
8		A	$\varepsilon = \sigma \left\{ \frac{1}{E} + \frac{\alpha}{\beta} \left(t - \frac{1}{\beta} [1 - \exp(-\beta t)] \right) \right\}$
		B	$\sigma = \varepsilon E \left\{ \left[1 - \frac{\gamma E - \tau_2}{\tau_2 + \tau_1} \right] \exp(-\tau_1 t) + \frac{\gamma E - \tau_2}{\tau_2 + \tau_1} \exp(-\tau_2 t) \right\}$
		C	$\alpha = \frac{E_3}{\eta_4 \eta_2}; E = E_1; \beta = \frac{E_3}{\eta}; \gamma = \frac{1}{\eta_4} + \frac{E_3}{E_1 \eta}; \eta = \frac{\eta_1 \eta_3}{\eta_3 + \eta_1}$ $\tau_{1,2} = \pm \frac{\gamma E}{2} - \sqrt{\frac{\gamma^2}{4} - \frac{\alpha}{E}}$

<p>9</p> 	<p>A</p>	$\varepsilon = \sigma \left\{ \frac{1}{E} + \frac{\alpha}{\beta} \left(t - \frac{1}{\beta} [1 - \exp(-\beta t)] \right) \right\}$
	<p>B</p>	$\sigma = \varepsilon E \left\{ \left[1 - \frac{\gamma E - \tau_2}{\tau_2 + \tau_1} \right] \exp(-\tau_1 t) + \frac{\gamma E - \tau_2}{\tau_2 + \tau_1} \exp(-\tau_2 t) \right\}$
	<p>C</p>	$E = E_2 + E_4; \alpha = \frac{E_2 E_4}{\eta_1 \eta_3 (E_2 + E_4)}; \beta = \frac{E_2 E_4}{\eta_3 (E_2 + E_4)};$ $\gamma = \frac{1}{\eta_1} + \frac{1}{\eta}; \eta = \frac{\eta_1 \eta_3}{\eta_3 + \eta_1}; \tau_{1,2} = \pm \frac{\gamma E}{2} - \sqrt{\frac{\gamma^2}{4} - \frac{\alpha}{E}}$
<p>10</p> 	<p>A</p>	$\varepsilon = \frac{\sigma}{E_3} + \left(\frac{\sigma}{E} + \frac{\sigma}{E_3} \right) \left\{ \frac{\tau}{\omega} \sin \omega \tau + \cos \omega \tau \right\} \exp(-\pi)$
	<p>B</p>	$\sigma = \varepsilon [\chi + (E - \chi) \exp(-\beta t)]$
	<p>C</p>	$\tau = \frac{E}{2\eta_4}; \omega = \sqrt{\frac{\alpha}{\eta_4} - \frac{E^2}{4\eta_4^2}}; E = E_1 + E_3 + \frac{E_1 \eta_4}{\eta_2}$ $\alpha = E_1 \frac{E_3}{\eta_2}; \beta = \frac{E_1}{\eta_2}; \chi = E_3$
<p>11</p> 	<p>A</p>	$\varepsilon = \frac{\sigma}{E_3} + \left(\frac{\sigma}{E} + \frac{\sigma}{E_3} \right) \left\{ \frac{\tau}{\omega} \sin \omega \tau + \cos \omega \tau \right\} \exp(-\pi)$
	<p>B</p>	$\sigma = \varepsilon [\chi + (E - \chi) \exp(-\beta t)]$
	<p>C</p>	$E = E_1 + \frac{\eta_4}{\eta_3} (E_1 + E_2); \alpha = \frac{E_1 E_2}{\eta_3}; \beta = \frac{E_1 + E_2}{\eta_3};$ $\chi = \frac{E_1 E_2}{E_1 + E_2}, \omega = \sqrt{\frac{\alpha}{\eta_4} - \frac{E^2}{4\eta_4^2}}; \tau = \frac{E}{2\eta_4};$
<p>12</p> 	<p>A</p>	$\varepsilon = \frac{\sigma}{E_3} + \left(\frac{\sigma}{E} + \frac{\sigma}{E_3} \right) \left\{ \frac{\tau}{\omega} \sin \omega \tau + \cos \omega \tau \right\} \exp(-\pi)$
	<p>B</p>	$\sigma = \varepsilon [\chi + (E - \chi) \exp(-\beta t)]$
	<p>C</p>	$E = \frac{E_2 \eta_1}{\eta_1 + \eta_3} + E_4; \alpha = \frac{E_2 E_4}{\eta_1 + \eta_3}; \beta = \frac{E_2}{\eta_1 + \eta_3}; \chi = E_4;$ $\eta = \frac{\eta_1 \eta_3}{\eta_3 + \eta_1}; \omega = \sqrt{\frac{\alpha}{\eta_4} - \frac{E^2}{4\eta_4^2}}; \tau = \frac{E}{2\eta}$

13		A	$\varepsilon = \frac{\sigma}{E} \left\{ 1 + \frac{\alpha - \beta}{\alpha} [1 - \exp(-\beta t)] \right\}$
		B	$\sigma = E\varepsilon \left\{ 1 - \frac{\alpha - \beta}{\alpha} [1 - \exp(-\alpha t)] \right\}$
		C	$E = E_1 + E_4; \alpha = \frac{E_1 + E_2}{\eta_3}; \beta = \frac{E_1 E_4}{\eta_3 (E_1 + E_4)} + \frac{E_2}{\eta_3}.$
14		A	$\varepsilon = \frac{\sigma}{\beta} \left\{ \frac{1}{\eta} + \alpha t - \frac{\alpha}{\beta} [1 - \exp(-\beta t)] \right\}$
		B	$\sigma = \varepsilon \beta \eta \exp(-\alpha \eta t)$
		C	$\alpha = \frac{E_2}{\eta_3 \eta_4 + \eta_1 \eta_3 + \eta_1 \eta_4}; \beta = \frac{E_2 \eta_1 (1 + \eta_1 \eta_4)}{\eta_3 \eta_4 + \eta_1 \eta_3 + \eta_1 \eta_4};$ $\eta = \eta_4 + \frac{\eta_1 \eta_3}{\eta_1 + \eta_3}.$

Таким чином, автори побудували і проаналізували увесь спектр три- і чотириелементних механічних моделей в'язкопружних тіл. Це дозволяє моделювати динаміку процесів тверднення композитних матеріалів з початкового моменту гідродинамічного поєднання компонентів до гелеутворення і переходу композиту у в'язкопружний стан. Використовуючи вироблений на кафедрі комп'ютерно-інтегрованих технологій Тернопільського державного технічного університету імені Івана Пулюя пристрій, можна експериментально спостерігати тверднення епоксидних композитів від перших секунд (в'язкий матеріал) до кількох годин (твердий матеріал) тверднення з фіксацією результатів через кожні 30 секунд.

Construction and analysis of total spectrum of mechanical models of visco-elastic bodies with three and four elements was conducted. This analysis allow to simulate the dynamic processes of materials hardness.

Література

1. Уорд И. Механические свойства твердых полимеров - М: Химия, 1975. – 350с.
2. Алфрей Т. Механические свойства высокополимеров. – Москва: ИЛ, 1952. – 384 с.
3. Малкин А.Я., Аскадский А.А., Коврига В.В. Методы измерения механических свойств полимеров. - М:Химия, 1978. – 336с.

Одержано 09.12.2000 р.